

埼玉大学

正員 ○中村広昭

〃 〃 鳴 篤之

はじめに 昨年度は、① 円型水槽水面の動搖に関する周波数特性についての理論と実験との対比を行ない、依次の共振特性については両者は良く一致することを確かめた。② 水面の動搖防止を図るため、水槽内に同心の有孔内部円筒を設置したとき、内部円筒の直径、孔の直径・開口率、円筒の設置高さおよび水槽の水深を変化させた周波数特性に関する実験を行なった。その結果、表-1に示す A b c、あるいは A C d の型式のものが低周波領域の水面の動搖防止に対して最も効果的であることが認められた。

然しながら、上記の型式の工作物は必ずしも高周波領域に対しても充分に効果的であるとは云い難いので、本年度はこのような領域にまで効果的な型式を見出すため、大別して 2 種類の実験的研究を行なったものである。実験は、振動台（島津サーボバルス： EHV-05105）上に水槽（内径 $2a = 72\text{cm}$ ）を載せ、内部に表-1で示すよう 2 種類の各種工作物を設置し、種々の条件下での水面の共振特性を調べることとした。なお、振動台で与えられる振幅は水平方向に

内部円筒の種類及び分類記号

1 cm(一定) とし、周波数領域は 0 ~ 5 Hz とする。

理論上からは、この範囲でもかなり多くの共振点が発生することになるが、工作物を設置した場合にはそれ程多くの共振点が実験的に明瞭には現われない。そこで 1 ~ 2 Hz 附近で現われる第 1 のピークを第 1 次共振点附近、3 ~ 5 Hz 附近で現われる第 2 のピークを第 2 次共振点附近と呼ぶこととする。

さらにもう 1 つ、前者にみられる開口率の小さい内部円筒の場合、2つ目のピークの現われる場合が生ずるので、そのような場合には区別して実験結果を整理する。

1) 隔壁付内部円筒を設けた実験

第 1 次共振点附近で水面の動搖防止に対し効果的である有孔内部円筒が、第 2 次共振点附近ではそれ程効果的でないことを現象的に説明すれば次のようである。すなわち、この附近では短かい波長の波が円周方向に相互に反対方向に伝わり、両者の衝突によって波高が瞬間に高くなるためである。

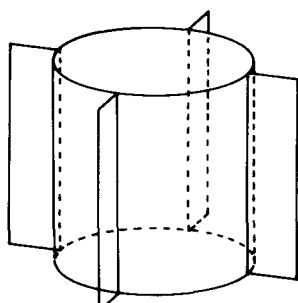
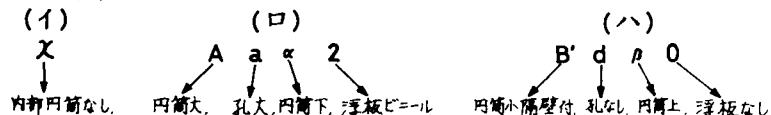
このような円周方向に伝わる波を制御するため、内部円筒に左の図のような隔壁を設けたものである。もしもこの型式が効果的であるならば、外部円筒ヒ

条件	記号等	表示順
内筒なし	X	
内筒の大小	大	小
隔壁付有無	A (無) A' (有)	B (無) B' (有)
内筒の直径 (cm)	34	22
内筒の側面積 (cm ²)	7916.8	5066.8
横方向孔の数 (約 3cm 間隔)	32	20
縦方向孔の数 (約 3cm 間隔)	24	24
孔の全個数	768	480
孔の種類	a (大) b (中) c (小) d (孔なし)	a (大) b (中) c (小) d (孔なし)
孔の直径 (cm)	2.6 1.4 0.8	2.6 1.4 0.8
空隙率 (%)	51.5 14.9 4.87	50.3 14.6 4.76
内筒の上下	(下・底面は一致)	(上・底面より 12cm 上)
浮板の種類	0 (隔壁なし) 1 (ペニール板) 2 (ビニール) 3 (布)	0 (隔壁なし) 1 (ペニール板) 2 (ビニール) 3 (布)
水槽水深 H(cm)	30	40
		50

実験条件による記号の表示は、X 又は I II III IV の 4 字で示す。

I は内部円筒の種類 ■ は孔の種類 □ は内筒の上下 ▲ は浮板の種類を表す。

・実験条件による記号の表示例



内部円筒を隔壁で一体化させることによって構造的にも安定化を図ることが期待できると考えられる。

図-1は隔壁付内部円筒を設置した場合の共振特性の一例を示したものである。

また、図-2の左と右の図は、それぞれオ1次共振点附近およびオ2次共振点附近に現われる最大全振幅が、内部円筒の孔の種類(a, b, c, d)および水槽の水深Hによってどのような値となるかを表したものである。なお、オ1次共振点附近では2つのピークが現われるので、オ2のピークに対しては孔の種類に応じて(a', b', c', d')の記号が付けられている。さらに比較のために、工作物の設置されない場合(X)の値も示されている。これらの図より以下の事項が指摘される。

① オ1次共振点のオ1のピークに関しては、水面の動搖防止効果は殆ど完全に近い。しかし、オ2のピークに関しては、昨年度報告図-4と比較してそれ程の変化が認められない。オ2のピークがオ1のピークに比し大きいのは、内部円筒や隔壁の設置により基本固有振動数が $/Hz$ より $2Hz$ に近づいたためと考えられる。このことは、二重同心円筒内の水面動搖に関する理論解析結果からも裏付けられる。

② オ2次共振点附近では、昨年度報告図-5と比較すると、全般的にやや最大振幅の減少が認められるが、オ1次とオ2次での防止効果が型式により逆転していることもある。必ずしも全額或に亘って効果的な型式を見出すことは困難である。このことは、工作物の型式に応じてそれぞれ共振特性が異なるので、たとえ隔壁によって円周方向に伝わる波を制御したとしても、今度はそれそれせまい木室内での共振が発生してかなり大きな振幅となるためである。

以上より隔壁付き内部円筒の型式は隔壁なしのそれと比べて、大きな動搖防止効果を与えるものではないことが明らかとなった。

2) 内部円筒と浮き板を組合せた実験

オ1次共振点附近では、有孔内部円筒の設置が効果的であるのに、オ2次共振点附近での防止効果を図るために、内部円筒と右図で示されるような浮き板を組合せた実験を行なった。浮き板は、浮き防波堤の構造からも示されるように、波長の短かい波に対しては効果的であると考えられる。また、現実に石油タンクでは浮き屋根構造となっている場合が多い。然し、低周波の波に対しては無力であるばかりでなく、浮き屋根と隔壁との摩擦による発火あるいは

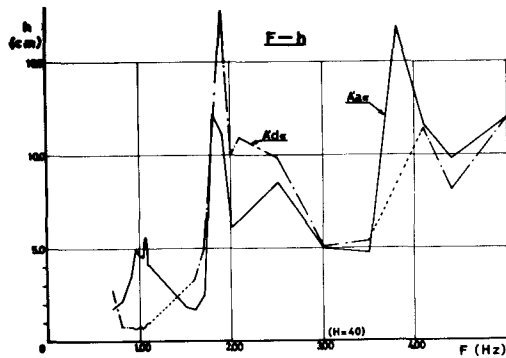


図-1 隔壁付内部円筒を設置した時の共振特性

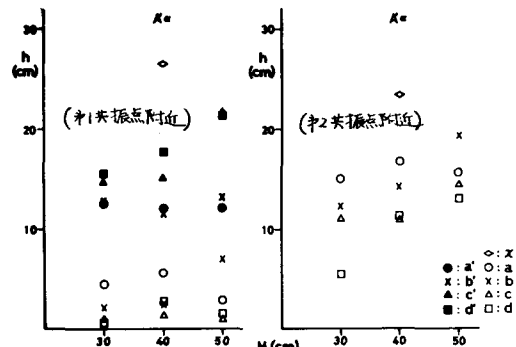


図-2 隔壁付内部円筒を用いた時の孔と内部円筒の関係

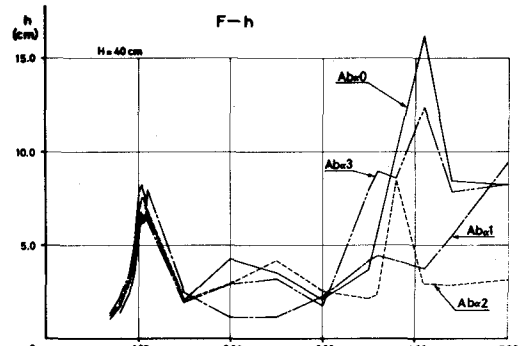
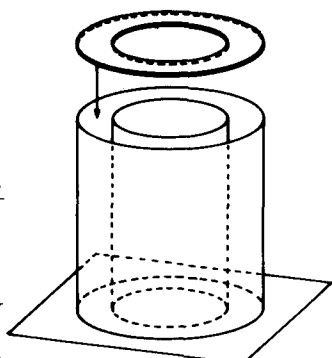


図-3 内部円筒に浮き板を組み合わせた場合の共振特性



隙間からの石油の噴出等の危険に対して充分の考慮が拂われなければならない。従つて、ここで浮板は屋根とは別構造とし、浮板の支持を容易にさせ、また浮き板の周壁に与える衝撃を極力少くさせたいとの配慮から、実験においては浮き板の材質をベニヤ板、ビニール膜および布の3種類のものとした。

図-3は、A_bの内部円筒に種々の浮き板を組み合わせた場合における共振特性の一例を示したものである。図-4および図-5は、浮き板を組合せた場合のそれぞれオ1次共振点附近およびオ2次共振点附近に現われる最大全振幅 h 、内部円筒の種類と浮き板の材質および水槽の水深によって、どのような値となるかを表わしたものである。さらに、図-6は最も思われる型式A_b \times 2、同じく浮板の無い型式A_b \times 0および何も工作物を入れない場合の3者について、動搖防止効果を比較するためそれらの共振特性を比較したものである。これらの図から以下の事項が指摘される。

① オ1次共振点附近では、浮き板は水面の動搖防止に対して、主役とはならぬので、被る内部円筒の性能に応じて動搖防止効果を示している。但し、自由表面の動きを拘束しているために、材質1および2では後半のピークが顕著に現われないのが特色である。

② オ2次共振点附近では、浮き板による動搖防止効果が明瞭に現れてくる。このことは、昨年度報告図-5と比較しても明らかである。また、この領域では内部円筒の型式が主役を果していち訳ではないので円筒の型式による相違は二次的である。しかし、当然のことながら浮き板の材質の相違が大きな差異を現象に及ぼしている。

③ 浮き板の材質に関しては、工学的には最も薄く軽いものが望ましいのであるが、図-3および図-5からも知られるように、材質3(布)では余りにも自由表面の拘束力が弱過ぎて、浮き板の無い場合と余り変わらない。一方、材質1(ベニヤ板)では拘束力が最も強いのにもかかわらず、材質2(ビニール膜)に比べて効果的でないことは興味のあることであり、また工学的にはこのことは大変に有利なことと思われる。凡らくなれば、水面の動搖に対し、完全拘束より適度の柔軟性を浮き板を持たせた方が、エネルギーの集中を避けたり減衰効果を引き出可上での有利なのではないかと考えられる。なおこの点に関する詳細な検討、ならばに実際の構造物に設置する場合の相似性については、今後より研究を進めて行きたい。

本研究を実施するにあつて、文部省科学研究所費(一般研究A代表者岡本萬三教授)の補助を受けた。また、実験に当り材料佐道良宣および猪口一、永島義治両氏ならびに大成建設設計部より多大の協力を得たので、この機会に関係各位に謝意を表する次第である。

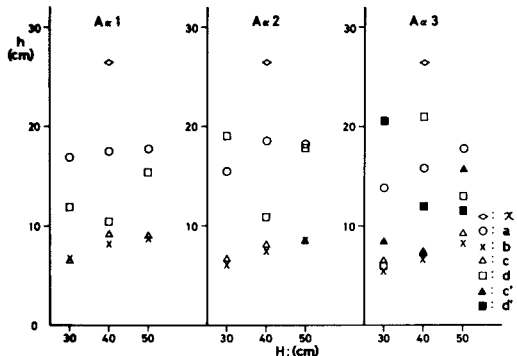


図-4 浮板入れた時のオ1次共振点附近の内部円筒の関係

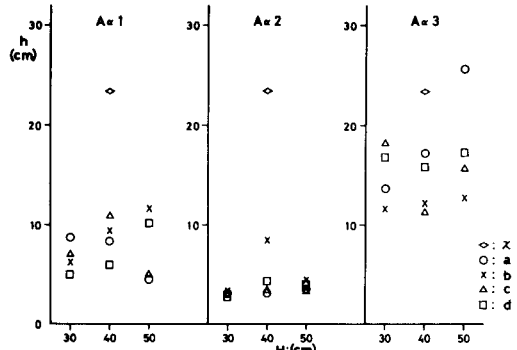


図-5 浮板を入れた時のオ2次共振点附近の内部円筒の関係

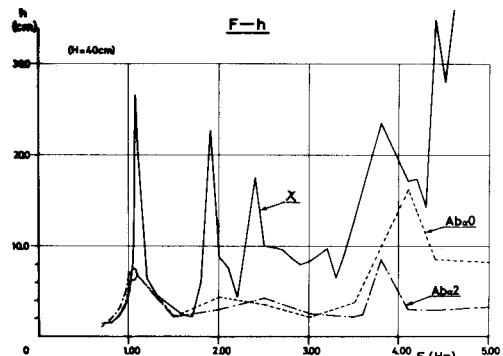


図-6 最も効果的な型式と他の型式との比較表示可共振特性